

Πρακτικά		4ου Συνέδριου		Μάϊος 1988	
Δελτ. Ελλην. Γεωλ. Εταιρ.		Τομ. XXIII/3 Vol.	σελ. pag.	197-210	Αθήνα Athens
Bull. Geol. Soc. Greece					1989

## ΣΥΓΚΡΙΣΗ ΜΟΝΤΕΛΩΝ ΔΟΜΗΣ ΣΤΟ ΚΕΝΤΡΙΚΟ ΑΙΓΑΙΟ

### I. ΚΑΛΟΓΕΡΑ\*

#### ABSTRACT

Six velocity models are compared in this paper in order to choose the best and to determine correction values for each of the stations, the recordings of which are used, for the Central Aegean earthquakes. The recordings and furthermore the P-residuals of twenty nine stations, located in Greece and in Minor Asia, were used referring to the seismic sequence of March 25, 1986, in Central Aegean.

Some conclusions are also extracted about the effects of local characteristics.

#### ΣΥΝΟΨΗ

Γίνεται συγκριτική παρουσίαση έξι μοντέλων ταχυτήτων με σκοπό την επιλογή αυτού που δίνει τα καλύτερα αποτελέσματα, και τον προσδιορισμό τιμών διόρθωσης γιά κάθε έναν από τους σταθμούς που χρησιμοποιήθηκαν γιά σεισμούς του Κεντρικού Αιγαίου. Γιά δεδομένα χρησιμοποιήθηκαν οι μεγαλύτεροι και καλύτερα αναγραμμένοι σεισμοί της σεισμικής ακολουθίας της 25 Μαρτίου 1986 του Κεντρικού Αιγαίου.

#### 1.- ΕΙΣΑΓΩΓΗ

Η δομή του φλοιού και του πάνω μανδύα στο χώρο του Αιγαίου και της Ανατολικής Μεσογείου έχει μελετηθεί από πολλούς ερευνητές τα τελευταία είκοσι χρόνια με την εφαρμογή διαφόρων μεθόδων. Λόγω όμως της πολυπλοκότητας των τεκτονικών διεργασιών της περιοχής, τα αποτελέσματα αυτών των μελετών δίνουν μόνο μία γενική εικόνα της δομής της.

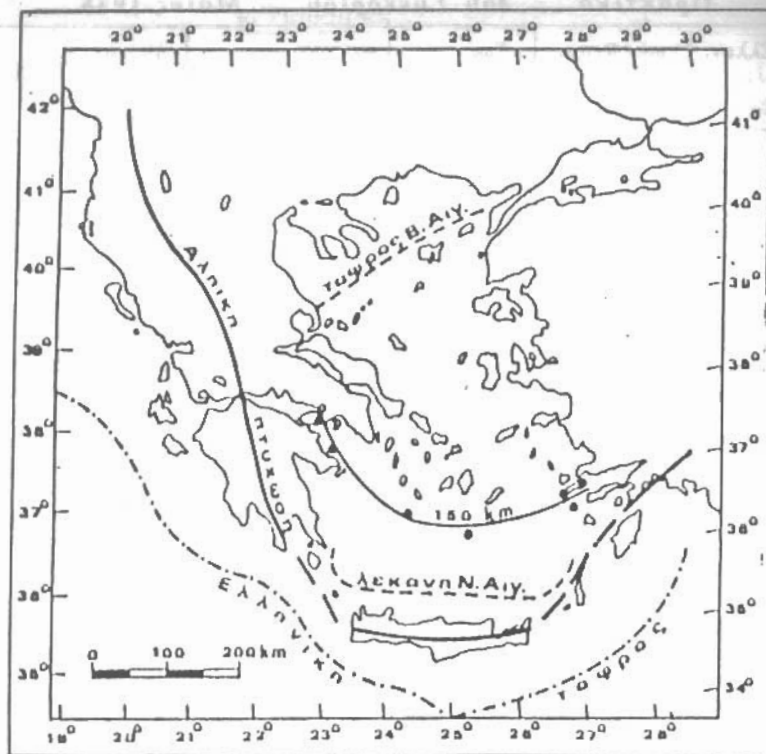
Η δομή της περιοχής καθώς και η εξέλιξή της επηρεάζεται από την κατάδυση της Αφρικανικής λιθόσφαιρας κάτω από το Νότιο Αιγαίο, δηλαδή έχει τις βασικές ιδιότητες περιθωριακής θάλασσας (Papazachos and Comninakis 1971, McKenzie 1978, Le Pichon and Angelier 1979). Στο σχήμα 1 δείχνονται τα κύρια μορφολογικά χαρακτηριστικά των τεκτονικών διεργασιών του χώρου αυτού (Παπαζάχος 1984).

Οι Παπαζάχος και συνεργάτες (1966) πρότειναν ένα μοντέλο του φλοιού στη Νοτιοανατολική Ευρώπη και η εργασία αυτή ήταν η πρώτη σοβαρή προσπάθεια καθορισμού της δομής της περιοχής.

Άκολούθησαν άλλες μελέτες γιά το σκοπό αυτό. Άναφέρουμε ενδεικτικά τις εργασίες των Παπαζάχου και συνεργατών (1967), Comninakis (1967), Papazachos (1969), Payo (1967, 1969), Makris (1975, 1976, 1978), Gregersen (1976), Makris and Vees (1977), Παναγιωτόπουλου (1984), Τάσσου (1984).

I. S. KALOGERAS - Comparison of structure models in Central Aegean.

\* Εθνικό Αστεροσκοπείο Αθηνών, Γεωδαιτικό Ινστιτούτο, Τ.Θ.20048, 118 10 Αθήνα.



ΣΧΗΜΑ 1. Τα κύρια γεωμορφολογικά χαρακτηριστικά των τεκτονικών διεργασιών στον ευρύτερο χώρο του Αιγαίου. (Παπαζάχος 1984)

FIGURE 1. The main geomorphological characteristics of the tectonic processes in the Aegean sea and surrounding areas. (Papazachos 1984)

Μία από τις μεθόδους που χρησιμοποιούνται γιά να αποκομισθούν πληροφορίες γιά το εσωτερικό της γης είναι τα χρονικά υπόλοιπα, που προκύπτουν από τη σύγκριση των παρατηρούμενων χρόνων διαδρομής των P κυμάτων και των χρόνων διαδρομής που υπολογίζονται γιά ένα τυπικό μοντέλο της γης. Τα χρονικά αυτά υπόλοιπα, εκτός των άλλων, αντανακλούν τη σύσταση και τη φυσική κατάσταση του φλοιού και του πάνω μανδύα κάτω από ένα δίκτυο σεισμολογικών σταθμών. Τα χρονικά υπόλοιπα δείχνουν τοπικές διαφορές (Herrin and Taggart 1968, Roupinet 1979) και εξάρτηση από την αξιμουθιακή κατανομή των σταθμών (Ritsema 1959, Bolt and Nuttli 1966). Και τα δύο αυτά φαινόμενα κατά ένα μεγάλο ποσοστό εξηγούνται από την ανομοιογένεια στην ταχύτητα διάδοσης των κυμάτων στο εσωτερικό της γης (Scarpa 1982). Ετσι θετικό χρονικό υπόλοιπο δείχνει διτι κάτω από το σταθμό αναγραφής υπάρχει στρώμα μικρότερης ταχύτητας από αυτήν που χρησιμοποιήθηκε κατά την επεξεργασία, ενώ αρνητικό χρονικό υπόλοιπο δείχνει στρώμα μεγαλύτερης ταχύτητας από αυτήν που χρησιμοποιήθηκε.

## 2.- ΔΕΔΟΜΕΝΑ - ΜΕΘΟΔΟΛΟΓΙΑ

Στις 25 Μαρτίου 1986 στις 01:41 έγινε στο Κεντρικό Αιγαίο ένας σεισμός τοπικού μεγέθους  $M_L = 5.2$  (ATH). Το επίκεντρο προσδιορίζεται μεταξύ Εύβοιας και Χίου και η δόνηση έγινε αισθητή στην Αθήνα (IV βαθμοί της κλίμακας Mercalli - Sieberg).

Η επικεντρική περιοχή θρισκόταν σε σεισμική ησυχία από τις 14 Μαρτίου 1933, δταν καταγράφηκε ένας σεισμός με επιφανειακό μέγεθος  $M = 5.5$  (Cominakis and Papazachos 1986).

Στην παρούσα περίπτωση καταγράφηκαν επτά σεισμοί τοπικού μεγέθους  $M_L \geq 4.5$  σε χρονικό διάστημα τριών περίπου μηνών από τον πρώτο σεισμό της 25 Μαρτίου 1986.

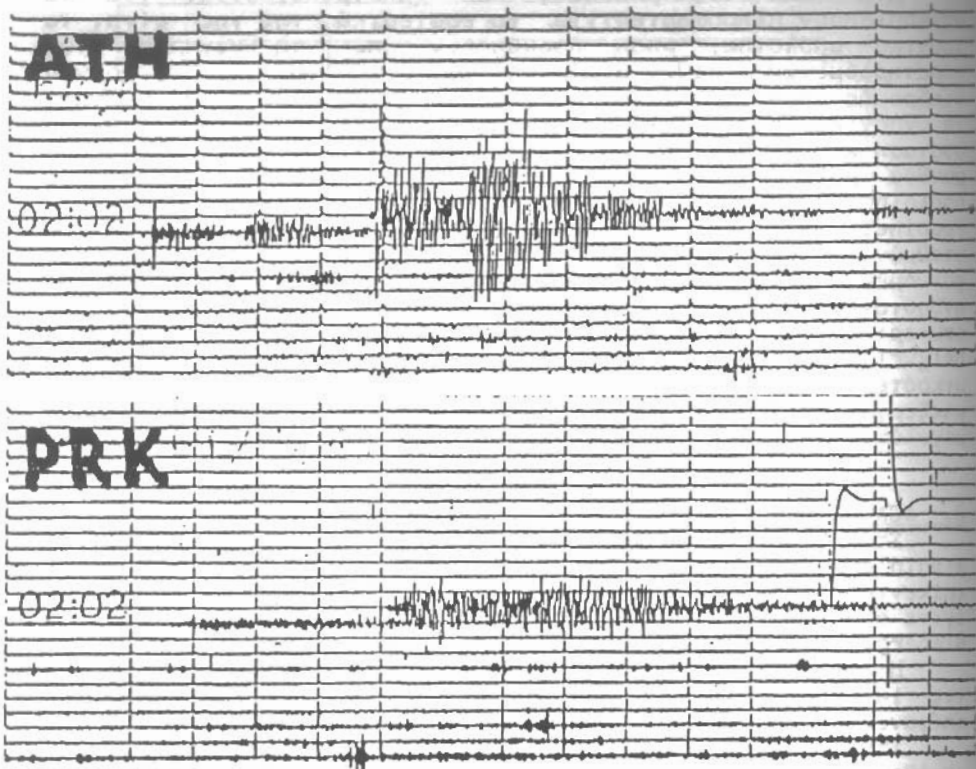
Δύο παρατηρήσεις γιά τη σεισμική ακολουθία παρουσιάζουν ενδιαφέρον : Πρώτον το διτι τα επίκεντρα προσδιορίζονται σε λεσε περίπου αποστάσεις από τους σταθμούς ATH, PRK, APE, KVR αφενός, και KZN, VAM, NPS, ARG, KNT αφετέρου. Δεύτερον το διτι στις αναγραφές του σταθμού ATH τα μεγαλύτερα πλάτη παρουσιάζονται καθαρά στα εγκάρσια κύματα, τα οποία είναι και ευκρινή, ενώ στις αναγραφές του σταθμού PRK τα επιμήκη και τα εγκάρσια κύματα (που δεν είναι ευκρινή) έχουν περίπου τα (δια πλάτη (Σχ. 2).

Σε αυτή την εργασία σαν δεδομένα χρησιμοποιήθηκαν σε πρώτο στάδιο οι πρώτες αφίξεις των σεισμών της σεισμικής ακολουθίας με μέγεθος  $M_L \geq 4.0$  γιά τη χρονική περίοδο 25 Μαρτίου - 30 Απριλίου 1986 και σε δεύτερο στάδιο οι πρώτες αφίξεις των σεισμών της ακολουθίας με μέγεθος  $M_L \geq 3.5$  που αναγράφηκαν από τουλάχιστον είκοσι σταθμούς ; γιά την (δια χρονική περίοδο. Χρησιμοποιήθηκαν οι αναγραφές των εξής σταθμών :

α) ATH, APE, ARG, ITM, VLS, JAN, KZN, PLG, PRK, NPS, VAM, PTL του μόνιμου σεισμολογικού δίκτυου του Γεωδυναμικού Ινστιτούτου.

β) KVR, MGR, KIT, PRN, AIG ενός ψφητηρού τηλεμετρικού δίκτυου που εγκατέστησε στην Αττική το Γεωδυναμικό Ινστιτούτο.

γ) SOH, LIT, SRS, THE, PAIG, KNT, GRG, OUR του μόνιμου σεισμολογικού Ψηφιακή Βιβλιοθήκη "Θεόφραστος" της Εθνικής Γεωλογίας Α.Π.Θ. του



**ΣΧΗΜΑ 2.** Τυπικό δείγμα αναγραφών των σεισμών ATH και PRK των οστιωμάν της σεισμικής περιόδου της 25 Μαρτίου 1986 στο κεντρικό Αιγαίο.

FIGURE 2. Typical recordings of ATH and PRK of the shocks of the seismic sequence of March 25, 1986, in the central Aegean sea.

Πανεπιστημίου Θεσσαλονίκης.

8) EZN, EDC, YER, IZM του Αστεροσκοπείου Kandilli στην Μικρά Ασία

Στον Πίνακα I αναφέρονται οι παράμετροι των παραπάνω σταθμών.

Με βάση τις αναγραφές αυτές και γιά να υπολογιστούν οι σεισμικές παράμετροι και τα χρονικά υπόλοιπα χρησιμοποιήθηκε το πρόγραμμα τηλεκτρονικού υπολογιστή HYPO 71 (Lee and Lahr 1975) γιά μοντέλο ομογενούς ημίχωρου και γιά έξι διαφορετικά μοντέλα ταχυτήτων, γενικά ή που έχουν προταθεί γιά τον Ελληνικό χώρο. Τα μοντέλα αυτά είναι:

1) Μοντέλο φλοιού τριών στρωμάτων με πάχη 16, 15 και 11 χιλιόμετρα και αντίστοιχες ταχύτητες 5.25, 6.14 και 6.88 χιλιόμετρα ανά δευτερόλεπτο και με ταχύτητα αμέσως κάτω από το φλοιό 7.87 χιλιόμετρα ανά δευτερόλεπτο (Papazachos et al 1966).

2) Μοντέλο φλοιού δύο στρωμάτων με πάχη 19 και 14 χιλιόμετρα και αντίστοιχες ταχύτητες 6.00 και 6.60 χιλιόμετρα ανά δευτερόλεπτο και με ταχύτητα αμέσως κάτω από το φλοιό 7.90 χιλιόμετρα ανά δευτερόλεπτο (Παναγιωτόπουλος 1984).

3) Παραλλαγή του προηγούμενου μοντέλου με προσθήκη επιφανειακού ιζηματογενούς στρώματος πάχους 2.5 χιλιόμετρων και ταχύτητας 5.00 χιλιόμετρων ανά δευτερόλεπτο (Παναγιωτόπουλος 1984).

4) Μοντέλο φλοιού δύο στρωμάτων με πάχη 20 και 12 χιλιόμετρα και αντίστοιχες ταχύτητες 6.00 και 6.40 χιλιόμετρα ανά δευτερόλεπτο και με ταχύτητα αμέσως κάτω από το φλοιό 7.80 χιλιόμετρα ανά δευτερόλεπτο (Makris 1978).

5) Μοντέλο φλοιού δύο στρωμάτων με πάχη 16 και 17 χιλιόμετρα και αντίστοιχες ταχύτητες 5.57 και 6.49 χιλιόμετρα ανά δευτερόλεπτο και ταχύτητα αμέσως κάτω από το φλοιό 7.24 χιλιόμετρα ανά δευτερόλεπτο (Jeffreys and Bullen 1958).

6) Μοντέλο φλοιού δύο στρωμάτων με πάχη 15 και 25 χιλιόμετρα και αντίστοιχες ταχύτητες 6.00 και 6.75 χιλιόμετρα ανά δευτερόλεπτο και ταχύτητα αμέσως κάτω από το φλοιό 8.05 χιλιόμετρα ανά δευτερόλεπτο (Herrin et al 1968).

Η μεθοδολογία που ακολουθήθηκε γιά κάθε ένα μοντέλο είναι η εξής: Με το πρόγραμμα HYPO 71 υπολογίζονται οι σεισμικές παράμετροι και τα χρονικά υπόλοιπα γιά τους σεισμούς της σεισμικής ακολουθίας με μέγεθος  $M_L \geq 4.0$ . Σε αυτό το στάδιο σαν αρχική διόρθωση γιά κάθε σταθμό θεωρείται αυτή λόγω του υψομέτρου του.

Γιά κάθε ένα σταθμό υπολογίζεται ο μέσος όρος των χρονικών υπολοίπων γι' αυτό το δείγμα των σεισμών, λαμβανομένων υπόψη της αζιμουθιακής κατανομής και της σημαντικότητας του σταθμού στον υπολογισμό των σεισμικών παραμέτρων. Η τιμή αυτή θεωρείται σαν τιμή διόρθωσης του σταθμού και αθροίζεται στην αρχική διόρθωση λόγω υψομέτρου.

Με αυτές τις τιμές διόρθωσης γιά κάθε σταθμό και γιά κάθε μοντέλο η διαδικασία επαναλαμβάνεται στο ίδιο δείγμα σεισμών, και από τα αποτελέσματα επιλέγεται το μοντέλο που δίνει τις καλύτερες λύσεις. Το μοντέλο αυτό χρησιμοποιείται γιά να υπολογιστούν οι σεισμικές παράμετροι και τα χρονικά υπόλοιπα γιά τους σεισμούς της σεισμικής ακολουθίας με μέγεθος  $M_L \geq 3.5$  που έχουν αναγραφεί σε είκοσι τουλάχιστον σταθμούς.

Με αυτόν την πρόσθια περιορισμένη σταθμούς

ΠΙΝΑΚΑΣ Ι. Οι σταθμοί και οι παράμετροί τους, οι αναγραφές των οποίων αποτέλεσαν τα δεδομένα για την επεξεργασία των σεισμών.

TABLE I. The stations and their parameters, the recordings of which were used for the earthquakes processing.

Κωδικός	φ° Βόρ.	λ° Ανατ.	Υψόμετρο
ATH	37 58.33	23 43.00	95
APE	37 04.13	25 31.83	620
ARG	36 12.97	28 07.57	170
ITM	37 10.78	21 55.60	400
JAN	39 39.40	20 51.05	540
KZN	40 18.40	21 46.25	900
NPS	35 15.75	25 36.75	370
PRK	39 14.77	26 16.30	100
PTL	38 02.93	23 51.88	500
PLG	40 22.43	23 26.73	580
VLS	38 10.50	20 35.38	375
VAM	35 24.42	24 11.98	225
AIG	37 45.50	23 32.50	207
KIT	38 11.00	23 15.00	1409
KVR	37 49.67	23 46.17	60
MGR	38 00.17	23 11.48	986
PRN	38 09.33	23 43.00	1000
GRG	40 57.40	22 24.08	560
KNT	41 09.72	22 53.88	380
LIT	40 06.05	22 29.40	480
OUR	40 20.07	23 58.92	60
PAIG	39 55.63	23 40.78	140
SOH	40 49.03	23 21.23	670
SRS	41 07.03	23 35.53	400
THE	40 37.93	22 57.90	70
EDC	40, 20.81	27 51.80	269
EZN	39 49.55	26 19.52	49
IZM	38 23.87	27 15.75	631
YER	37 08.08	28 16.97	729

ΠΙΝΑΚΑΣ II. Τα συνοπτικά αποτελέσματα από την πρώτη επεξεργασία των σεισμών με μέγεθος  $M_L \geq 4.0$  για κάθε μοντέλο ταχυτήτων.

TABLE II. The mean results from the first analysis of the earthquakes of local magnitude  $M_L \geq 4.0$  for each velocity model.

Μοντέλο	RMS	ERH	ERZ	Μέσο Βάθος
1	0.62	1.99	4.18	12
2	0.64	2.05	11.69	5
3	0.64	2.07	23.11	5
4	0.59	1.90	3.88	8
5	0.64	2.02	12.89	7
6	0.72	2.22	24.89	36

αντανακλούν κατά το μεγαλύτερο ποσοστό τη δομή της διαδρομής που ακολουθούν τα σεισμικά κύματα.

### 3.- ΠΑΡΟΥΣΙΑΣΗ ΑΠΟΤΕΛΕΣΜΑΤΩΝ

Στον Πίνακα II φαίνονται τα συνοπτικά αποτελέσματα γιά κάθε μοντέλο από την επεξεργασία των σεισμών με μέγεθος  $M \geq 4.0$ . Δίνονται το μέσο τετραγωνικό σφάλμα, το σφάλμα στον υπολογισμό του επικέντρου, το σφάλμα στον υπολογισμό του βάθους και το μέσο βάθος. Παρατηρούμε ότι τα μικρότερα σφάλματα δίνει το τέταρτο μοντέλο.

Από την επεξεργασία αυτή προκύπτει γιά κάθε σταθμό μία μέση τιμή διόρθωσης, που περιλαμβάνει τυχαία σφάλματα, την επίδραση της επικεντρικής απόστασης και την επίδραση της σημαντικότητας του σταθμού στον υπολογισμό των σεισμικών παραμέτρων. Η τιμή αυτή αθροίζεται στην αρχική τιμή διόρθωσης κάθε σταθμού λόγω υψηλέτρου.

Με αυτές τις τιμές διόρθωσης γίνεται γιά δεύτερη φορά επεξεργασία αυτών των σεισμών. Στον Πίνακα III φαίνονται τα συνοπτικά αποτελέσματα γιά κάθε μοντέλο. Παρατηρούμε ότι τα μοντέλα με αριθμούς 4 και 6 παρουσιάζουν τα καλύτερα αποτελέσματα ειδικά στο σφάλμα υπολογισμού του εστιακού βάθους. Πάντως, το μέσο εστιακό βάθος που δίνει το μοντέλο με αριθμό 4 παραμένει σταθερό και στις δύο επεξεργασίες και συγχρόνως ανταποκρίνεται καλύτερα στη μορφή αναγραφής των σεισμών.

Επιλέγεται λοιπόν το τέταρτο μοντέλο σαν αυτό που δίνει τα καλύτερα αποτελέσματα και οι τιμές διόρθωσης (Πίνακας IV) που προκύπτουν γιά κάθε σταθμό χρησιμοποιούνται στην επεξεργασία των σεισμών με μέγεθος  $M \geq 3.5$  που έχουν αναγραφεί σε τουλάχιστον είκοσι σταθμούς. Ο Πίνακας V περιέχει τις σεισμικές παραμέτρους που βρέθηκαν από την επεξεργασία των σεισμών χρησιμοποιώντας τις τελικές τιμές διόρθωσης.

Από την επεξεργασία αυτή προκύπτουν τα εξής:

Στο σχήμα 3 παρουσιάζεται η προβολή των υποκέντρων των σεισμών κατά δύο διευθύνσεις, N-B (α) και Δ-Α (β).

Στο σχήμα 4 παρουσιάζονται τα μέσα χρονικά υπόλοιπα των μόνιμων σεισμολογικών σταθμών του Γεωδυναμικού Ινστιτούτου που ακολουθούν το ίχνος του τόξου του Αιγαίου. Παρατηρείται αλλαγή από στρώμα μικρής ταχύτητας (θετικά χρονικά υπόλοιπα) στα Βόρεια (JAN) και δυτικά (VLS) σε στρώμα μεγαλύτερης ταχύτητας, περίπου λίστα με αυτήν του χρησιμοποιούμενου μοντέλου (θετικά και αρνητικά χρονικά υπόλοιπα) στα νοτιοδυτικά (ITM), στα νότια (VAM, NPS) και στα νοτιοανατολικά (ARG). Αυτό είναι πιθανό να οφείλεται στο μεγάλο πάχος του ιζηματογενούς στρώματος που έχει αναφερθεί από πολλούς ερευνητές στις ακτές του Ιονίου (Makris 1978, Πάναγιωτόπουλος 1984, Τάσσος 1984). Η δομή ωστόσο στην περιοχή της Κρήτης δεν είναι καθαρή (Gregersen 1977, Makris 1978).

Στο σχήμα 5 παρουσιάζονται τα χρονικά υπόλοιπα των σταθμών του Γεωδυναμικού Ινστιτούτου, μόνιμων και μη, στην περιοχή της Αττικής. Η γενική εικόνα δείχνει ότι η Αττική χαρακτηρίζεται από στρώμα μεγάλης ταχύτητας (αρνητικά χρονικά

ΠΙΝΑΚΑΣ III. Τα συνοπτικά αποτελέσματα από τη δεύτερη επεξεργασία των σεισμών με τοπικό μέγεθος  $M_L \geq 4.0$  γιά κάθε μοντέλο ταχυτήτων.

TABLE III. The mean results from the second analysis of the earthquakes of local magnitude  $M_L \geq 4.0$  for each velocity model.

Μοντέλο	RMS	ERH	ERZ	Μέσο βάθος
1	0.47	1.50	5.36	7
2	0.50	1.60	5.57	5
3	0.51	1.58	19.74	3
4	0.50	1.66	0.42	9
5	0.42	1.33	1.45	6
6	0.54	1.67	0.27	23

ΠΙΝΑΚΑΣ IV. Οι τιμές διόρθωσης που βρέθηκαν γιά κάθε έναν από τους σταθμούς που χρησιμοποιήθηκαν.

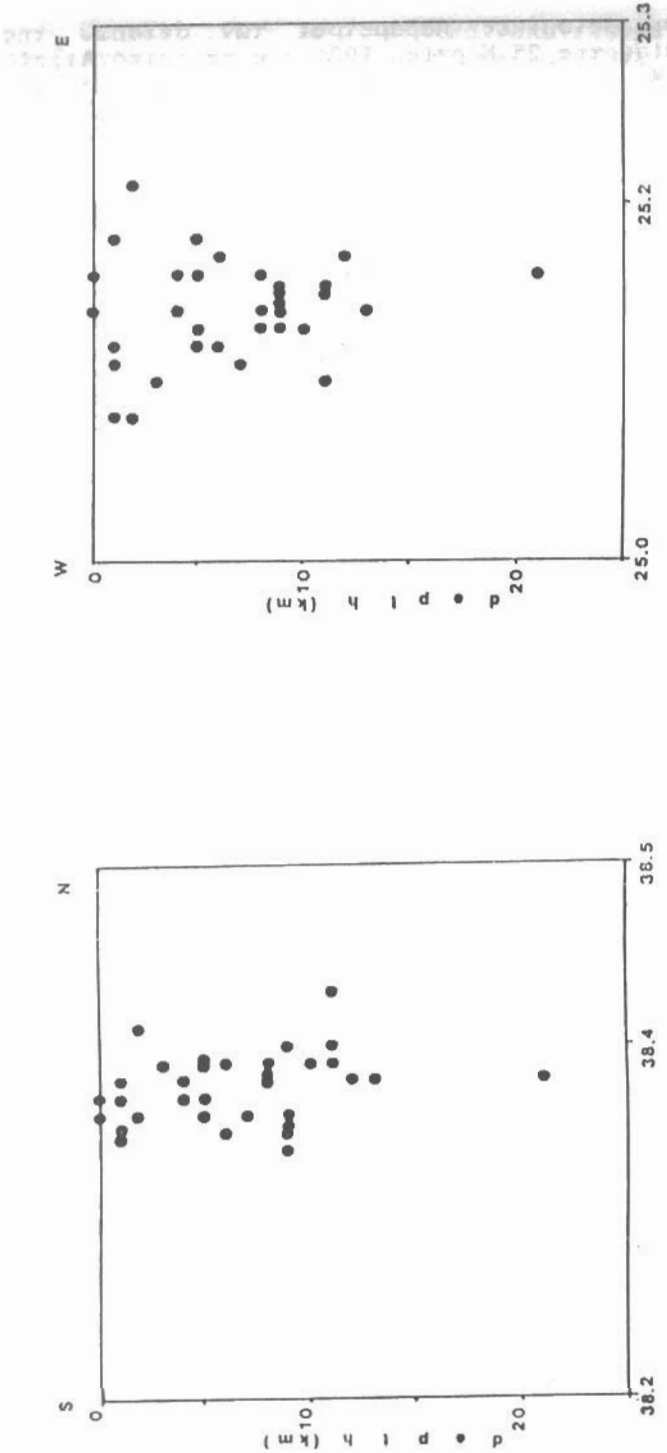
TABLE IV. The correction values that are found for each station, the recordings of which were used.

Κωδικός σταθμού	Τιμή διόρθωσης	Κωδικός σταθμού	Τιμή διόρθωσης
ATH	0.13	GRG	0.30
APE	-0.39	KNT	0.44
ARG	0.38	LIT	-0.13
ITM	0.54	OUR	0.10
JAN	1.20	PAIG	0.16
KZN	0.14	SOH	0.14
NPS	-0.18	SRS	-0.30
PRK	0.20	THE	0.36
PTL	0.09	EDC	-0.36
PLG	-0.04	EZN	-0.85
VLS	1.22	IZM	0.21
VAM	0.41	YER	0.28
AIG	-0.04		
KIT	-0.70		
KVR	-0.41		
MGR	-1.15		
PRN	-0.27		

ΠΙΝΑΚΑΣ V. Οι σεισμικές παράμετροι των σεισμών της σεισμικής ακολουθίας της 25 Μαρτίου 1986 στο κεντρικό Αιγαίο με τοπικό μέγεθος  $M_L \geq 3.5$ , έτσι όπως προέκυψαν από την τελική επεξεργασία των δεδομένων, δηλαδή λαμβάνοντας υπόψη τις τιμές διόρθωσης που βρέθηκαν.

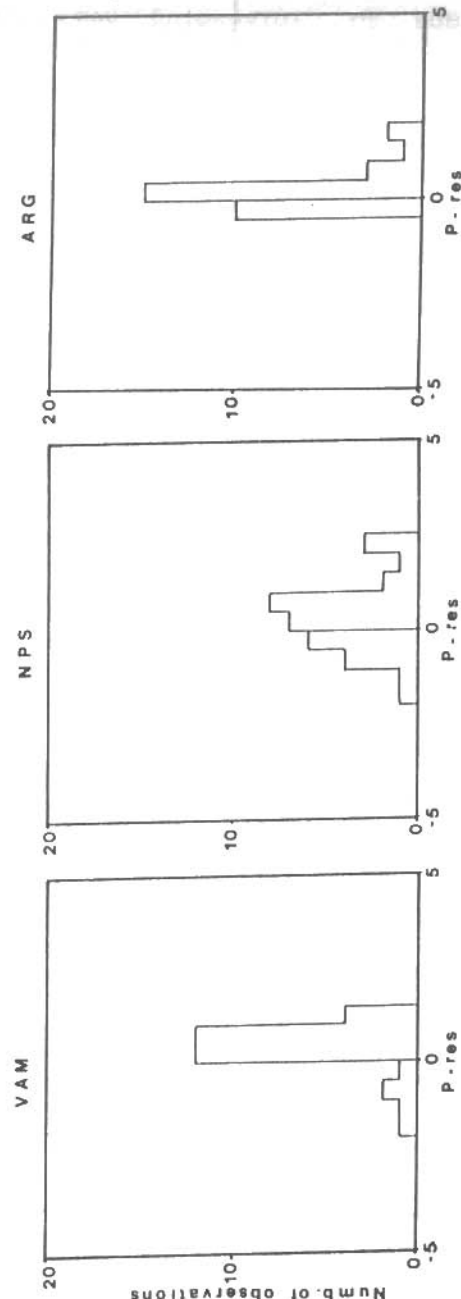
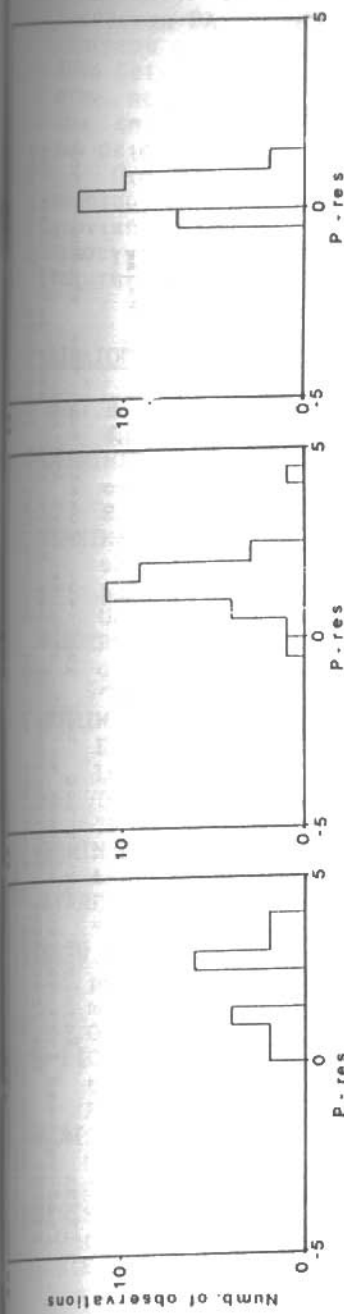
TABLE V. The seismic parameters of the earthquakes of local magnitude  $M_L \geq 3.5$  of the central Aegean seismic sequence, March 25, 1986, as they are calculated by the second analysis using the correction values.

Ημερομηνία γένεσης	Χρόνος	$\varphi^*$ Βόρ.	$\lambda^*$ ανατ.	βάθος	$M_L$
25/3/86	01:41:35.3	38.35	25.15	9	5.2
25/3/86	03:48:46.3	38.35	25.17	6	3.5
25/3/86	07:39:37.4	38.39	25.13	5	3.9
25/3/86	15:12:20.2	38.36	25.18	5	3.7
28/3/86	21:50:44.4	38.38	25.14	13	3.9
28/3/86	22:32:42.8	38.38	25.14	8	3.8
29/3/86	13:36:59.3	38.36	25.21	2	3.7
29/3/86	18:36:38.2	38.38	25.16	8	5.2
29/3/86	19:22:28.6	38.40	25.15	11	4.1
29/3/86	20:56:55.6	38.36	25.14	9	3.7
29/3/86	21:01:49.8	38.38	25.16	21	3.7
30/3/86	11:01:29.3	38.37	25.14	1	3.7
30/3/86	11:40:24.3	38.37	25.14	4	3.6
31/3/86	02:05:42.0	38.40	25.13	9	4.2
31/3/86	05:08:53.2	38.39	25.17	12	4.0
3/4/86	18:52:33.3	38.38	25.11	1	3.8
3/4/86	20:38:06.0	38.35	25.12	1	3.7
3/4/86	23:32:18.6	38.36	25.11	7	4.9
3/4/86	23:36:30.4	38.36	25.16	1	3.8
4/4/86	00:09:40.3	38.34	25.14	9	4.2
8/4/86	20:38:26.7	38.39	25.10	3	3.7
9/4/86	21:03:32.1	38.41	25.08	2	3.8
10/4/86	14:43:03.3	38.39	25.12	5	4.3
18/4/86	13:48:26.0	38.37	25.08	1	4.2
21/4/86	13:37:10.8	38.37	25.16	5	4.3
23/4/86	22:56:12.3	38.43	25.10	11	4.0
25/4/86	05:00:46.8	38.39	25.13	10	4.7
26/4/86	19:52:14.9	38.39	25.13	8	4.1
26/4/86	20:23:34.4	38.35	25.18	1	3.9
26/4/86	22:25:59.2	38.39	25.12	6	3.6
28/4/86	09:08:22.4	38.39	25.15	11	3.8
28/4/86	14:57:43.0	38.38	25.16	4	3.6
28/4/86	20:32:56.4	38.35	25.15	9	3.6



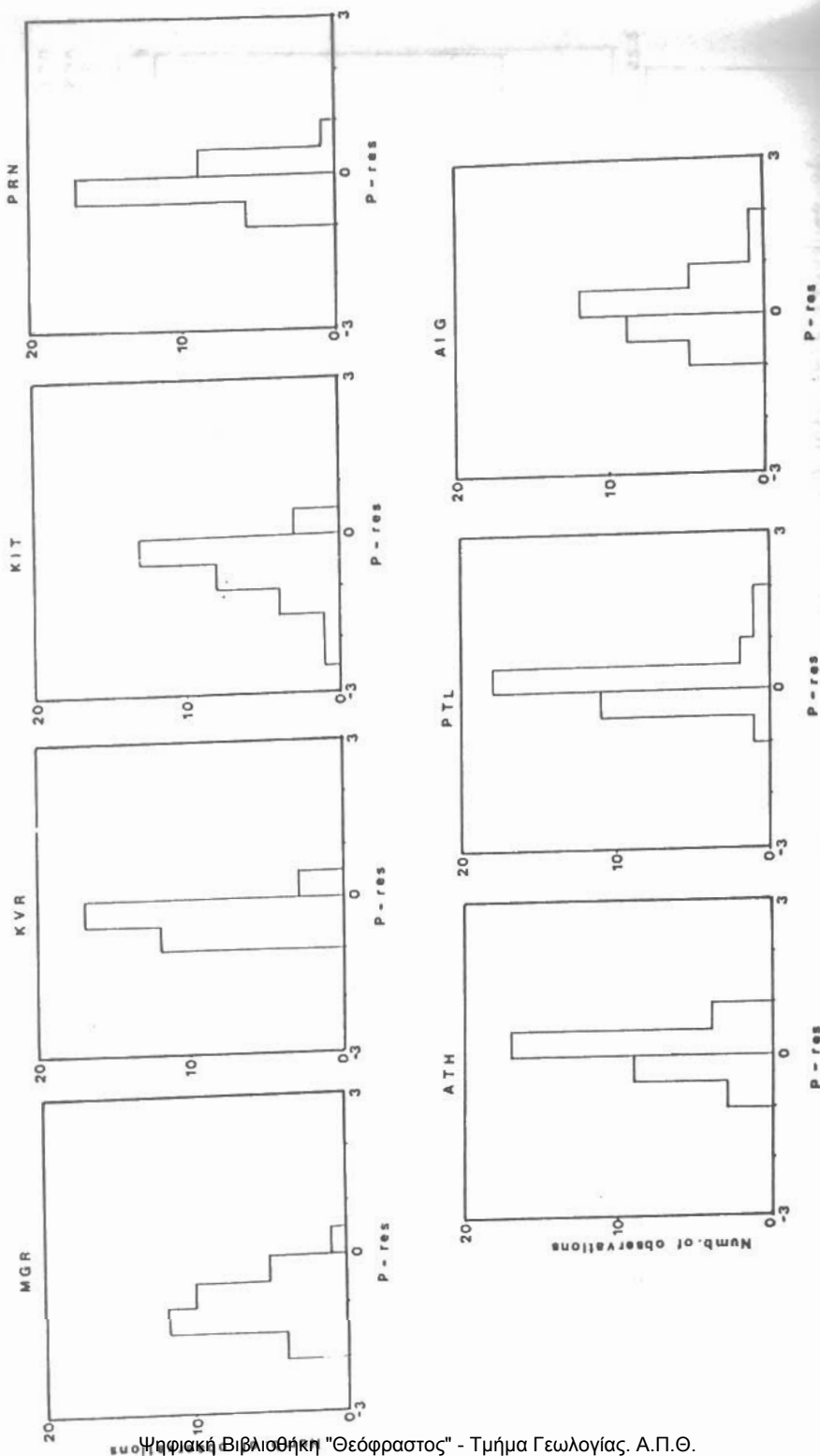
ΣΧΗΜΑ 3. Η προσθοή των υποκέντρων των σεισμών της σεισμικής σειράς στις 25 Μαρτίου 1986 στο κεντρικό Αιγαίο. Τοπικού μεγέθους  $M_r \geq 3.5$ , που έχουν αναραφεί από τουριστικούς τόκους σταθμών (a) κατά τη διεύθυνση N-B, (b, c) κατά τη διεύθυνση Δ-Α.

FIGURE 3. The plot of the hypocenters of the central Aegean seismic sequence of March 25, 1986. These earthquakes are of local magnitude  $M_r \geq 3.5$  and have been recorded by at least twenty stations. a) At S - N orientation. b) At W - E orientation.



ΣΧΗΜΑ 4. Κατανοηθείστηκαν συχνότητας των χρονικών υπολοιπών των μόνιμων σεισμολογικών σταθμών του Γεωδυναμικού Ινστιτούτου που ακολουθούν το ίχνος του τόξου του Αιγαίου.

FIGURE 4. The frequency distribution of P-residuals that were calculated for the permanent stations of the Seismological Institute, which are located along the Aegean arc.



Ψηφιακή Βιβλιοθήκη "Θεόφραστος" - Τμήμα Γεωλογίας. Α.Π.Θ.

ΣΧΗΜΑ 5. Κατανομή συχνότητας των χρονικών υπολοίπων των σταθμών του Εργασιακού Ινστιτούτου, μόνιμων και μη, στην περιοχή Αττικής.  
 FIGURE 5. The frequency distribution of p-residues that were calculated for the permanent and mobile stations of the Seismological Institute, which are located in the Attica region.

υπόλοιπα). Τρεις σταθμοί που βρίσκονται σε ευθεία με διεύθυνση ΒΑ - ΝΔ (PTL, ATH, AIG) χαρακτηρίζονται κατ' εξαίρεση από εξίσου θετικά και αρνητικά χρονικά υπόλοιπα. Άυτό δείχνει μία πολυπλοκότητα στη δομή του πάνω στρώματος στην περιοχή της Αττικής, αφού λόγω της μικρής απόστασης από την επικεντρική περιοχή, είναι αυτό που καθορίζει τη διάδοση των σεισμικών κυμάτων.

Πιστεύουμε ότι η χροσιμοποίηση τοπικών δικτύων από φορητούς σεισμογράφους που θα εγκαθίστανται για ορισμένη χρονική περίοδο σε προκαθορισμένες περιοχές, μπορεί να προσεγγίσει σε πρώτη φάση το πρόβλημα των τοπικών μοντέλων ταχυτήτων, με μικρό κόστος και σε σύντομο χρονικό διάστημα.

### ΒΙΒΛΙΟΓΡΑΦΙΑ

- BOLT,B.A. and NUTTLI,O.W., 1966, P-wave residuals as a function of azimuth, "J. Geophys. Res., 71, 5977-5985".  
COMMINAKIS,P.E., 1967, Travel time curves of shallow earthquakes in Greece, "Nat. Obs. Athens. Seism. Inst.. Sci. Prog. Rep., No 8, 14-15".  
COMMINAKIS,P.E. and PAPAZACHOS,B.C., 1986, A catalogue of earthquakes in Greece and surrounding area for the period 1901-1985, "Publs. Geophys. Lab. Thessaloniki Univ., No 1, 167pp".  
GREGERSEN,S., 1977, P-wave travel time residuals caused by a dipping plate in the Aegean arc, Greece, "Tectonophysics, 37, 83-93".  
HERRIN,E., ARNOLD,E.P., BOLT,B.A., CLAWSON,G.E., ENGDAL,E.R., FREEDMAN,H.W., GORDON,D.W., HALES,A.L., LOBDELL,J.L., NUTTLI,O., ROMNEY,C., TAGGART,J. and TUCKER,W., 1968, Seismological tables for P phases, "Bull. Seism. Soc.'Am., 58, 1193-1241".  
HERRIN,E. and TAGGART,J., 1968, Regional variations in P travel times, "Bull. Seism. Soc. Am., 58, 1325-1337".  
JEFFREYS,H. and BULLEN,K.E., 1958, Seismological tables, "Brit. Ass. Gray-Milne Trust, 50pp".  
LEE,W.H.K. and LAHR,J.C., 1975, Hypo 71 (revised): A computer program for determining hypocenter, magnitude and first motion pattern of local earthquakes, "US. Geol. Surv., Open-file Rep., 75-311".  
Le PICHON,X. and ANGELIER,J., 1979, The hellenic arc and trench system: A key to the neotectonic evolution of the Eastern Mediterranean area, "Tectonophysics, 60, 1-42".  
MAKRIS,J., 1975, Crustal structure of the Aegean sea and the Hellenides obtained from geophysical surveys, "J. Geophys., 41, 441-443".  
MAKRIS,J., 1976, A dynamic model of the hellenic arc deduced from geophysical data, "Tectonophysics, 36, 339-346".  
MAKRIS,J., 1978, The crust and upper mantle of the Aegean region from deep seismic soundings, "Tectonophysics, 46, 269-284".  
MAKRIS,J. and VEES,R., 1977, Crustal structure of the Aegean sea and islands Evia and Crete, Greece, obtained by refractive seismic experiments, "J. Geophys., 42, 329-341". Ψηφιακή Βιβλιοθήκη "Θεόφραστος" - Τμήμα Γεωλογίας Α.Π.Θ.  
McKENZIE,D.P., 1978, Active tectonics of the Alpine-Himalayan

- belt: The Aegean sea and surrounding regions. "Geophys. J.R. astr. Soc., 55, 217-254".
- ΠΑΝΑΓΙΩΤΟΠΟΥΛΟΣ, Δ.Γ., 1984, Καμπύλες χρόνων - διαδρομής και δομή του φλοιού στο Νότιο Βαλκανικό χώρο, "Διδακτορική Διατριβή, Πανεπιστήμιο Θεσσαλονίκης, σελ. 173".
- PAPAZACHOS, B.C., 1969, Phase velocities of Rayleigh waves in Southeastern Europe and Eastern Mediterranean sea, "Pageoph, 75, 47-55".
- ΠΑΠΑΖΑΧΟΣ, Β.Κ., 1984, Τεκτονική βάθους και σεισμικότητα του ελληνικού χώρου, "Πρακτικά Συνεδρίου Σεισμοί και Κατασκευές, Αθήνα, 1, 207-227".
- PAPAZACHOS, B.C. and COMNINAKIS, P.E., 1971, Geophysical and tectonic features of the Aegean arc, "J. Geophys. Res., 76, 8517-8533".
- PAPAZACHOS, B.C., COMNINAKIS, P.E. and DRAKOPOULOS, J.K., 1966, Preliminary results of an investigation of the crustal structure in the southeastern Europe, "Bull. Seism. Soc. Am., 56, 1241-1263".
- PAPAZACHOS, B.C., POLATOU, M. and MANDALOS, M., 1967, Dispersion of surface waves recorded in Athens, "Pageoph, 67, 95-106".
- PAYO, G., 1969, Crustal structure of the Mediterranean sea by surface waves, Part I: Group velocity, "Bull. Seism. Soc. Am., 57, 151-172".
- PAYO, G., 1969, Crustal structure of the Mediterranean sea by surface waves, Part II: Phase velocity and travel times, "Bull. Seism. Soc. Am., 59, 23-42".
- POUPINET, G., 1979, On the relation between P-wave travel time residuals and the age of the continental plates, "Earth and Planetary Science Letters, 43, 149-161".
- RITSEMA, A., 1959, Note on the azimuthal deviations of P-waves recorded at Djacarta station, "Pageoph, 43, 159-166".
- SCARPA, R., 1982, Travel time residuals and three dimensional velocity structure in Italy, "Pageoph, 120, 583-606".
- ΤΑΣΣΟΣ, Σ.Τ., 1984, Στατικές και δυναμικές ιδιότητες του πάνω μανδύα στο νότιο Αιγαίο, "Διδακτορική Διατριβή, Πανεπιστήμιο Θεσσαλονίκης, σελ. 155".